

РЕНТГЕНОВСКАЯ РЕФЛЕКТОМЕТРИЯ АДСОРБЦИОННОЙ ПЛЕНКИ ОКТАДЕКАНАМИДА НА ГРАНИЦЕ ТОЛУОЛ–ВОДА

A. M. Тихонов^{a,b}, Ю. О. Волков^{b,c**}*

*^a Институт физических проблем им. П. Л. Капицы Российской академии наук
119334, Москва, Россия*

*^b Институт физики твердого тела Российской академии наук
142432, Черноголовка, Московская обл., Россия*

*^c Институт кристаллографии им. А. В. Шубникова
ФНИЦ «Кристаллография и фотоника» Российской академии наук
119333, Москва, Россия*

Поступила в редакцию 30 мая 2019 г.,
после переработки 30 мая 2019 г.
Принята к публикации 31 мая 2019 г.

Методом рентгеновской рефлектометрии с использованием синхротронного излучения с энергией фотонов 15 кэВ изучена структура адсорбционной пленки октадеканамида на планарной межфазной границе толуол–вода. С помощью модельно–независимого подхода по экспериментальным данным восстановлены профили электронной концентрации (поляризуемости), согласно которым структура интерфейса определяется уровнем pH в водной субфазе. При высоком $pH \approx 11$ адсорбционная пленка представляет собой кристаллический монослой октадеканамида толщиной около 26 Å, в котором алифатические хвосты сурфактанта вытянуты вдоль нормали к поверхности. При низких $pH \approx 2$ толщина приповерхностной структуры, которая состоит из кристаллического монослоя непосредственно на границе толуол–вода и толстого слоя осажденных мицелл октадеканамида, достигает около 500 Å. Конденсация мицелл неионогенного поверхностно–активного вещества, при которой происходит значительное увеличение его поверхностной концентрации, вызвана, по нашему мнению, изменением направления поляризации при понижении уровня pH в электрическом двойном слое на границе между водной субфазой и монослоем октадеканамида. Форма восстановленных профилей электронной концентрации также указывает на существование плоскости наименьшего сближения мицелл сурфактанта с межфазной границей на расстоянии около 70 Å от нее.

DOI: 10.1134/S0044451019090062

1. ВВЕДЕНИЕ

Экспериментальное определение структуры переходного слоя на границе раздела двух конденсированных фаз, в частности, неполярного органического растворителя (масла) и воды, является одной из важнейших проблем в области поверхностных явлений. Растворимую адсорбционную пленку дифильного вещества (сурфактанта) на этой поверхности можно рассматривать, как двумерную термодинамическую систему, в которой могут наблюдаться, например, разнообразные баротропные, лиатропные

и термотропные фазовые переходы между поверхностными мезофазами [1–3]. Свойства схожих по структуре эпитропных жидкокристаллических слоев на практике определяют вязкостные параметры моторных масел в триаде трения [4, 5]. Использование синхротронного излучения в жесткой части рентгеновского диапазона длин волн для исследования структуры скрытых границ методами рефлектометрии и диффузного рассеяния дает принципиально новые экспериментальные возможности для выяснения сущности этих и многих других явлений в приповерхностных слоях [6–13].

Ранее сообщалось о наблюдении переходов к многослойной адсорбции в двухкомпонентных адсорбционных пленках фтор-алканолов и в однокомпонентных пленках триаконтанола и триакон-

* E-mail: tikhonov@kapitza.ras.ru

** E-mail: neko.crys@gmail.com



Рис. 1. Структура адсорбционной пленки на межфазной границе масло–вода, z_1 — толщина монослоя Гиббса, z' — положение плоскости наименьшего сближения мицелл с межфазной границей и z_2 — диффузная граница слоя конденсированных мицелл с объемом неполярного растворителя

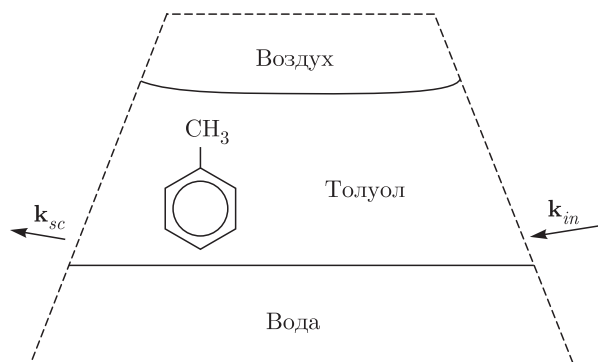


Рис. 2. Схема экспериментальной ячейки

2. ЭКСПЕРИМЕНТ

тановой кислоты на границе н-гексан–вода [13–15]. Недавно мы показали, что с понижением температуры T за двумерным переходом конденсации, например, триаконтанола из газовой фазы в жидккий монослой Гиббса толщиной $z_1 \approx 27 \text{ \AA}$ на межфазной границе н-гексадекан–вода следует переход к его многослойной адсорбции, которую мы связываем с возрастанием концентрации мицелл в приповерхностном слое толщиной $z_2 \sim 200 \text{ \AA}$ [16] (см. рис. 1). Получение структурной информации по данным этих и других экспериментов основано на расчетах коэффициента отражения для модельных поверхностных структур с привлечением известной информации, например, о геометрических размерах и структуре молекул, величине межфазного натяжения и пр.

В данной работе проведен анализ экспериментальных данных для межфазной границы с привлечением модельно–независимого подхода, который не требует каких-либо априорных предположений о по–перечной структуре поверхности [17]. По экспериментальным данным рентгеновской рефлектометрии изучена структура адсорбционной пленки октадеканамида на планарной межфазной границе толуол–вода в зависимости от состава водной субфазы (уровня pH в ней). Обнаружено, что при низком уровне pH (не более 7) происходит значительное (в несколько раз) увеличение приповерхностной концентрации и толщины адсорбционной пленки амфи菲尔ного вещества, которое мы связываем с конденсацией его мицелл, вызванной электростатическим взаимодействием последних с межфазной границей. Применение нового подхода позволило нам, например, установить существование и определить положение плоскости наименьшего сближения мицелл сурфактанта с межфазной границей (см. рис. 1).

Ранее нами экспериментальным путем установлено, что минимально–приемлемая толщина углеводородной фазы в экспериментальной ячейке при исследовании интерфейса масло–вода составляет около 75 мм [18] (см. рис. 2). Для нормально падающих фотонов, например, с энергией 8 кэВ коэффициент пропускания через такой слой углеводорода составляет около 10^{-11} . В прямом пучке с входной интенсивностью порядка 10^7 фотон/с (рентгеновская широкофокусная трубка с медным анодом) на выходе из образца получаем 10^{-3} фотон/с, что на 2–3 порядка ниже уровня собственного шума хорошего рентгеновского детектора. Для более жестких, например, 15 кэВ–ых фотонов коэффициент пропускания возрастает примерно до 10^{-2} . Однако на практике для корректного измерения коэффициента отражения от межфазной границы используется зондирующий луч с вертикальной шириной менее 10 мкм и угловой расходимостью менее 10^{-5} рад. Подготовка луча с такими параметрами неизбежно приводит к значительному падению его интенсивности. По этим причинам лабораторные источники для целей рентгеноструктурных исследований скрытых планарных межфазных границ, ввиду своей малой яркости, малопривлекательны по сравнению с синхротронными источниками жесткого излучения [19].

Образцы плоской межфазной границы толуол–вода, которая ориентируется силой гравитации, изучались при нормальных условиях в термостатированной ячейке из нержавеющей стали по методике, описанной в работе [20]. Рентгенопрозрачные окна ячейки изготавливаются из полиэстера, а геометрические размеры поверхности раздела объемных фаз в ней составляют 75 мм \times 150 мм соответственно вдоль и поперек луча.

Все химические компоненты для эксперимента приобретались в компании Sigma-Aldrich. В качестве неионогенного сурфактанта использовался октадеканамид $C_{18}H_{37}NO$, который хорошо растворяется в ароматическом углеводороде и не растворяется в воде. Расчетная длина этой линейной цепной молекулы $L \approx 26 \text{ \AA}$ ($= 17 \times 1.27 \text{ \AA} (\text{C-C}) + 1.5 \text{ \AA} (-\text{CH}_3) + 2.5 \text{ \AA} (-\text{CONH}_2)$) [21].

Толуол (C_7H_8 , плотность $\approx 0.86 \text{ г/см}^3$ при $T = 298 \text{ K}$, температура кипения $T_b \approx 384 \text{ K}$) подвергался очистке в хроматографической колонке [22]. Верхней масляной фазой служили около 75 мл раствора октадеканамида в толуоле с объемной концентрацией примерно 5 ммоль/л. В качестве нижней водной объемной фазы использовались деионизированная вода $pH \approx 7$ (Barnstead, NanoPureUV), раствор серной кислоты ($pH \approx 2$) и раствор NaOH ($pH \approx 11$) в ней объемом около 100 мл. Перед использованием жидкости подвергались дегазации в ультразвуковой ванне. Затем при измерениях коэффициента отражения R образец подвергался «отжигу»: температура жидкостей в ячейке повышалась примерно на 30 К выше комнатной и далее, при аккуратном механическом перемешивании нижней фазы образец приводился в равновесие при $T = 298 \text{ K}$ в течение нескольких часов [13].

Величина межфазного натяжения γ измерялась методом Вильгельми непосредственно в экспериментальной ячейке [23]. Для этого использовалась пластина из хроматографической бумаги (Whatman) размерами около $10 \times 5 \text{ mm}^2$, которая крепилась к платиновой проволоке (около 0.25 мм в диаметре), проходящей сквозь отверстия в верхней крышке термостата и крышке люка ячейки диаметром около 2 мм. При этом последние заменялись на составные из двух частей крышки, что, естественно, приводило к нарушению герметичности ячейки при измерениях натяжения. Изменение веса ΔF пластины при ее отрыве от границы толуол–вода, которое фиксировалось электровесами NIMA PS-2, определяет величину межфазного натяжения $\gamma \approx \Delta F / 2L$. После отрыва от границы пластина остается полностью погруженной в углеводородной фазе. При $T = 298 \text{ K}$ для всех изученных образцов значение γ лежит в интервале 23–24 мН/м, что примерно на треть ниже величины натяжения $36.0 \pm 0.1 \text{ мН/м}$ у интерфейса толуол–вода между чистыми жидкостями [24, 25].

Поперечное строение межфазной границы толуол–вода было исследовано методом рефлектометрии на станции X19C синхротрона NSLS [26]. В экспериментах использовался сфокусированный монохроматический луч фотонов с интенсивностью порядка

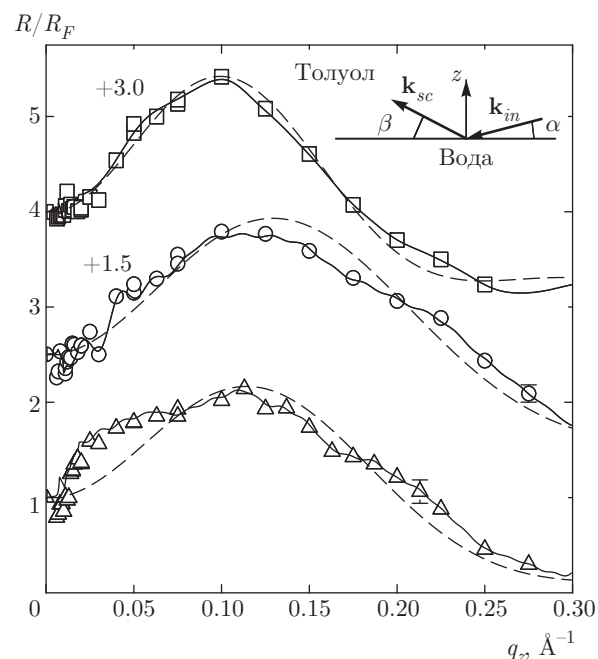


Рис. 3. Нормированный коэффициент отражения R/R_F как функция q_z для межфазных границ с адсорбционной пленкой октадеканамида: треугольники соответствуют границе при $pH \approx 2$, а кружки — $pH \approx 7$, и квадраты — $pH \approx 11$. Сплошными линиями показан модельно-независимый расчет, а штриховыми — модельный. Числа у кривых указывают их смещение вдоль оси ординат для лучшей наглядности представления результатов. Вставка: кинематика рентгеновского поверхностного рассеяния на планарной межфазной границе толуол–вода. В эксперименте рефлектометрии $\alpha = \beta$

10^{11} ф/с и энергией $E = 15 \text{ кэВ}$ ($\lambda = 0.825 \pm 0.002 \text{ \AA}$). Конструкция станции позволяет изучать как поверхности твердых тел, так и жидкостей [27–29]. Например, с помощью этой установки нами ранее был изучен переход плавления на границе толуол–вода в адсорбированном монослое октадекановой кислоты [30].

При зеркальном отражении вектор рассеяния \mathbf{q} имеет только одну ненулевую компоненту $q_z = (4\pi/\lambda) \sin \alpha$ вдоль нормали к поверхности (см. вставку на рис. 3). При углах скольжения α меньше критической величины $\alpha_c \approx \lambda \sqrt{r_e \Delta \rho / \pi}$ (где $r_e = 2.814 \cdot 10^{-5} \text{ \AA}$ — классический радиус электрона, а $\Delta \rho = \rho_w - \rho_t$) падающий луч испытывает полное внешнее отражение и $R \approx 1$. При нормальных условиях электронная концентрация в воде $\rho_w \approx 0.333 e^- / \text{\AA}^3$ (e^- — заряд электрона), а в толуоле $\rho_t \approx 0.85 \rho_w$ ($\Delta \rho \approx 0.15 \rho_w$). Таким образом, для границы толуол–вода $\alpha_c \approx 0.03^\circ$.

На рис. 3 приведены экспериментальные зависимости коэффициента отражения R от q_z , которые для наглядности нормированы на функцию Френеля

$$R_F(q_z) \approx (q_z - [q_z^2 - q_c^2]^{1/2})^2 / (q_z + [q_z^2 - q_c^2]^{1/2})^2,$$

где $q_c = (4\pi/\lambda) \sin \alpha_c \approx 0.0085 \text{ \AA}^{-1}$. Треугольники соответствуют значениям $R(q_z)/R_F(q_z)$ при уровне $pH \approx 2$, кружки — $pH \approx 7$, а квадраты — $pH \approx 11$. Эти данные демонстрируют достаточно сильную зависимость структуры интерфейса от уровня pH в водной субфазе.

3. ТЕОРИЯ

По экспериментальным данным $R(q_z)$ в интервале примерно от 1 до 10^{-9} нами восстановлены распределения электронной концентрации $\rho(z)$ вдоль нормали к поверхности с применением двух принципиально различных подходов: один — в предположении о монослоиной структуре адсорбционной пленки, второй — без каких-либо предположений о попечерной структуре поверхности. В первом случае использовалась качественная однослоиная модель на основе функции ошибок, описывающей температурно-активированные флуктуации межфазной границы — капиллярные волны [31–34]. В первом борновском приближении искаженных волн (Distorted wave Born approximation DWBA) коэффициент отражения $R(q_z)$ для границы толуол–вода с монослоем Гиббса имеет следующий вид [35, 36]:

$$\frac{R(q_z)}{R_F(q_z)} \approx \frac{\exp(-\sigma^2 q_z q_z^t)}{\Delta \rho^2} \times \left| \rho_1 - \rho_w + (\rho_t - \rho_1) \exp\left(iz_1 \sqrt{q_z q_z^t}\right) \right|^2, \quad (1)$$

где $q_z^t = \sqrt{q_z^2 - q_c^2}$, а ρ_1 — электронная концентрация в монослое октадеканамида. Положение границы монослоя–вода при $z_0 = 0$, а z_1 — толщина монослоя Гиббса (см. рис. 1), σ — среднеквадратичное отклонение положения границ от их номинальных значений z_0 и z_1 . При расчетах мы фиксировали значение параметра σ^2 для границ монослоя равным значению квадрата «капиллярной ширины»

$$\sigma^2 = \frac{k_B T}{2\pi\gamma} \ln \frac{Q_{max}}{Q_{min}},$$

где k_B — постоянная Больцмана, коротковолновый предел в спектре капиллярных волн $Q_{max} = 2\pi/a$ ($a \approx 10 \text{ \AA}$ — по порядку величины межмолекулярное расстояние), а длинноволновый предел флуктуаций поверхности задействованных в эксперименте

$Q_{min} = q_z^{max} \Delta\beta$ (где $q_z^{max} \approx 0.275 \text{ \AA}^{-1}$, а угловое разрешение детектора $\Delta\beta \approx 4 \cdot 10^{-4}$ рад) [37]. В условиях данного эксперимента для границы толуол–вода расчетное значение ширины $\sigma = 4.75 \pm 0.05 \text{ \AA}$. Такой подход к анализу данных рефлектометрии мы успешно использовали ранее, например, для изучения структур и фазовых переходов в адсорбционных пленках амфи菲尔ных веществ на плоской границе предельный углеводород н-гексан–вода [38].

Расчеты для модельного монослоя с помощью (1) представлены штриховыми линиями на рис. 2. При $pH \approx 11$ электронная концентрация в монослое Гиббса на границе толуол–вода составляет $\rho_1 = 0.350 \pm 0.005 e^-/\text{\AA}^3$, а $z_1 = 26 \pm 1 \text{ \AA}$. Плотность монослоя ρ_1 соответствует наиболее плотной упаковке углеводородных цепей в кристаллической γ -фазе, а толщина монослоя совпадает в пределах погрешности с длиной молекулы октадеканамида L [39]. Эти значения подгоночных параметров соответствуют площади на молекулу в монослое $A = \Gamma/(z_1 \rho_1) = 18 \pm 1 \text{ \AA}^2$, где $\Gamma = 160$ — число электронов в молекуле $C_{18}H_{37}NO$. Таким образом, монослой можно условно назвать кристаллическим, в котором алифатические хвосты сурфактанта вытянуты вдоль нормали к поверхности.

Для других уровней pH значение подгоночного параметра ρ_1 примерно такое же, как и при $pH \approx 11$, но z_1 заметно меньше L ($z_1 = 17\text{--}20 \text{ \AA}$). С одной стороны, это могло бы соответствовать твердой гексатической фазе монослоя с большим углом скоса алифатических хвостов (угол их отклонения от нормали $\theta = \arccos(z_1/L) \approx 40^\circ$), по аналогии с фазами ленгмюровского монослоя октадекановой кислоты на поверхности воды [40, 41]. С другой стороны, интегральная характеристика монослоя — это площадь на молекулу, величина которой $A = \Gamma/(z_1 \rho_1) \approx 26 \text{ \AA}^2$ соответствует жидкому н-октадекану ($C_{18}H_{38}$). Это явное противоречие, очевидно, связано с более сложной, чем монослоиной, структурой адсорбционной пленки.

Превышение значений квадрата структурного фактора R/R_F единицы при малых углах скольжения (см. данные для $pH \approx 2$) в интервале значений q_z примерно от $1.5q_c$ до $5q_c$ указывает на наличие области избыточной электронной плотности адсорбированного вещества вблизи границы раздела по сравнению с плотностью модельного монослоя, которую мы связываем с конденсацией мицелл октадеканамида на границе раздела. Для связи этой особенности в кривых $R(q_z)$ со структурой интерфейса толуол–вода мы применили модельно–независимый подход, основанный на экстраполяции асимптотиче-

ского поведения коэффициента отражения $R(q_z)$ в область больших значений q_z [42]. Ранее мы успешно использовали данный подход к описанию структур фосфолипидных мультислоев на поверхности коллоидного кремнезоля [43, 44] и липидных монослоев на водной подложке [45].

Ключевое преимущество подхода состоит в том, что он не требует никаких априорных предположений о структуре исследуемого объекта, предполагая при этом абсолютное распределение поляризуемости среды по глубине $\delta(z)$ (действительная часть комплексной диэлектрической проницаемости) и, соответственно, электронной плотности $\rho(z) \approx \pi\delta(z)/(r_e\lambda)$. В общем случае распределение $\delta(z)$ представляется как кусочно-непрерывная функция, содержащая особые точки $\Delta^{(n)}(z_j)$, в которых ее n -я производная меняется скачкообразно; при этом асимптотика спада кривой отражения $R(q_z \rightarrow \infty) \propto 1/q_z^{(2n+4)}$.

Процедура дальнейшего анализа детально изложена в работах [17, 42]. Отметим только, что в нашем случае все экспериментальные кривые убывают по закону пропорционально $1/q_z^6$, что указывает на присутствие особых точек первого порядка ($n = 1$). Их взаимное расположение может быть определено посредством следующей процедуры модифицированного фурье-анализа:

$$F^1(x) = \frac{64}{k^4(q'' - q')} \times \\ \times \int_{q'}^{q''} [q^6 R(q) - C] \cos(2qx) dq, \quad (2)$$

$$C = \frac{1}{q'' - q'} \int_{q'}^{q''} q^6 R(q) dq,$$

где интегрирование по $q = q_z/2$ проводится при различных значениях q' и q'' . Стабильные экстремумы функции $F^1(x)$ соответствуют парным расстояниям между особыми точками x_{ij} , в которых $F^1(x_{ij}) \sim \Delta_i^1 \Delta_j^1$.

В качестве примера на рис. 4 показано семейство $F^1(x)$, рассчитанное по кривой отражения при $pH \approx 11$. Единственный стабильный минимум указывается на единственную пару противоположных по знаку особых точек с расстоянием $x = 15.6 \text{ \AA}$ между ними, соответствующих границе раздела толул–монослой Гиббса (z_1 на рис. 1) и максимуму электронной концентрации в окрестности полярных групп $-\text{CONH}_2$ монослоя октадеканамида. Далее профиль $\delta(z)$, заданный численно совокупностью $M \sim 100$

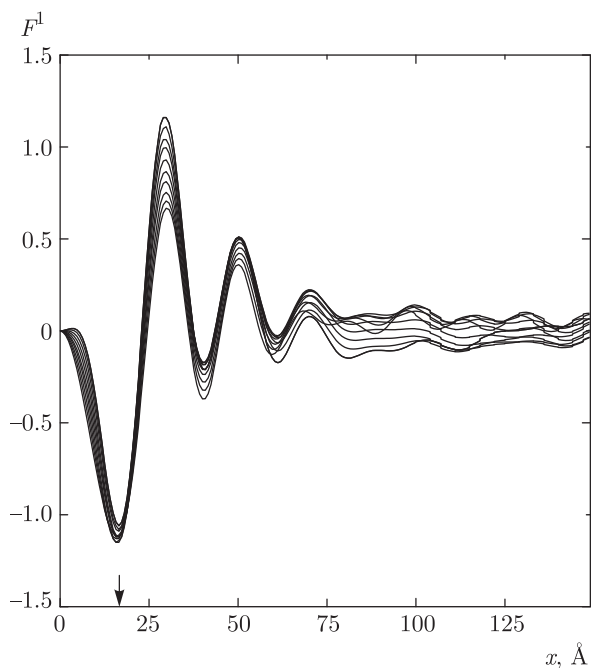


Рис. 4. Расчетные функции $F^1(x)$ при различных значениях q' , q'' для кривой отражения от монослоиной адсорбционной пленки октадеканамида на границе толул–вода при $pH \approx 11$. Стрелкой отмечено положение стабильного минимума при $x = 15.6 \text{ \AA}$, соответствующего паре особых точек

тонких однородных слоев с фиксированными положениями особых точек z_j , был реконструирован путем подгонки расчетной угловой зависимости коэффициента отражения $R_{calc}(q_z, \delta(z))$ к экспериментальным данным $R(q_z)$ с применением стандартного метода наименьших квадратов. Для обеспечения устойчивости решения в целевую функцию дополнительно был введен регуляризационный член вида

$$\sum_{m \neq j}^M (\delta_{m-1} - \delta_m) \rightarrow \min,$$

определеняющий гладкость профиля $\delta(z_1 \dots z_M)$ в интервалах между особыми точками.

Пренебрежение поглощением в среде при данном подходе накладывает ограничение на толщину реконструируемой структуры $L^{max} \ll \lambda^2 q_z^{max}/4\pi\delta(z)$ [17]. Так как для воды на длине волны $\lambda = 0.825 \text{ \AA}$ значение поляризуемости $\delta \approx 2 \cdot 10^{-6}$, в нашем случае допустимая толщина области восстановления $L^{max} \gg 1000 \text{ \AA}$ вполне достаточна для корректного определения структуры адсорбционного слоя [46].

4. ЭКСПЕРИМЕНТАЛЬНЫЕ РЕЗУЛЬТАТЫ И ОБСУЖДЕНИЕ

На рис. 5 непрерывной и штриховой линиями приведены восстановленные с помощью соответст-

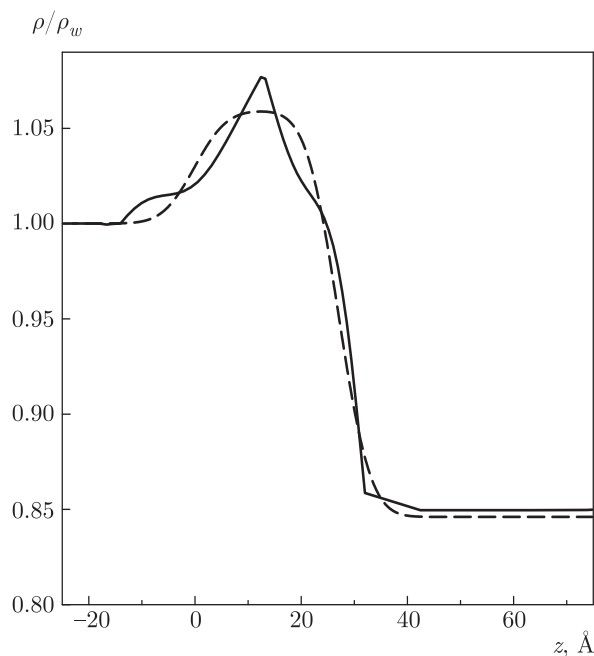


Рис. 5. Восстановленные профили электронной концентрации $\rho(z)$ для монослойной адсорбционной пленки октадеканамида на границе толуол–вода при $pH \approx 11$, нормированные на электронную концентрацию в воде при нормальных условиях $\rho_w = 0.333e^-/\text{\AA}^3$: сплошная линия — модельно-независимый расчет, а штриховая линия — модельный расчет по (1). Положение границы между полярной областью молекул в монослое Гиббса и водой выбрано при $z = 0$

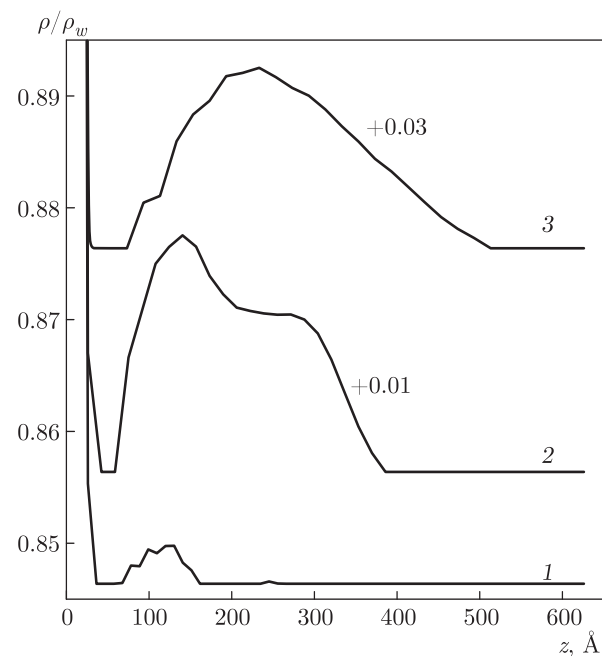


Рис. 6. Восстановленные профили электронной концентрации $\rho(z)$ адсорбционной пленки октадеканамида на границе толуол–вода, нормированные на электронную концентрацию в воде при нормальных условиях $\rho_w = 0.333e^-/\text{\AA}^3$: 1 — $pH \approx 11$, 2 — $pH \approx 7$, 3 — $pH \approx 2$. Для удобства сравнения профиль 2 сдвинут вдоль оси ординат на +0.01, а профиль 3 на +0.03. Положение границы между полярной областью молекул в монослое Гиббса и водой выбрано при $z = 0$

венно модельно-независимого и модельного подходов, профили электронной концентрации $\rho(z)$ вдоль нормали к межфазной границе толуол–вода при $pH \approx 11$. Они соответствуют кристаллической монослойной адсорбционной пленке с $A = 18 \pm 1 \text{ \AA}^2$. На рис. 6 показаны восстановленные в рамках модельно-независимого подхода профили электронной концентрации $\rho(z)$ для всех систем в более широком диапазоне z , чем на рис. 5. Он демонстрирует качественное изменение структуры интерфейса с понижением уровня pH от 11 до 2, которое связано с образованием широкого слоя в интервале z от $z' \sim 70 \text{ \AA}$ до $z_2 \sim 500 \text{ \AA}$ (см. рис. 1). При этом с понижением pH толщина z_1 и площадь на молекулу A в монослое Гиббса (при $0 < z < z_1$) практически не меняются. Отметим также, что имеется четкая граница между монослоем и широким слоем в виде области при $z_1 < z' < 70 \text{ \AA}$ с электронной плотностью около ρ_t . В то же время, при $z \sim z_2$ граница слоя конденсированных мицелл с объемом ароматического растворителя носит скорее диффузный характер, чем резкий.

Интерпретация экспериментов с растворимыми адсорбционными слоями, как правило, проводится в терминах гиббсовской адсорбции [47–50]. Применимость этого подхода ограничена системами с достаточно низкой концентрацией дифильного вещества в неполярном органическом растворителе (истинный раствор). При превышении некоторой критической концентрации амфиfila в растворе образуются мицеллы, которые находятся в термодинамическом равновесии как с мономерами, так и с поверхностью [51, 52]. Отметим также, что в гиббсовской триаде «неполярный углеводородный растворитель–сурфактант–водный раствор электролита» возможно образование микроэмulsionий — трехкомпонентной фазы вещества [53, 54]. В нашем эксперименте объемная концентрация октадеканамида в толуоле $c \approx 5 \text{ ммоль/л}$ существенно превышает типичную величину критической концентрации мицеллообразования для неионогенных сурфактантов в ароматическом углеводороде менее 1 ммоль/л, но она недостаточно высока, чтобы до-

стичь эмульсификации системы [55]. Образование широкого слоя при понижении pH водной субфазы мы связываем с осаждением мицелл октадеканамида в поле электрического двойного слоя на границе толуол–вода (раствор электролита).

В неполярном органическом растворителе толуоле ядро мицеллы формируется гидрофильными полярными группами $-\text{CONH}_2$, а гидрофобные хвосты октадеканамида $-\text{C}_{17}\text{H}_{35}$ образуют внешнюю оболочку (инвертированная или обращенная мицелла). Минимальный радиус сферической мицеллы составляет около $L \approx 26 \text{ \AA}$. Если предположить, что плотность упаковки молекул октадеканамида в мицеллах и в монослое Гиббса примерно одинакова, то содержание сурфактанта в мицеллярном слое при $pH = 2$ в $(\rho_1 - \rho_t)/(\rho_2 - \rho_t) \approx 4\text{--}5$ раз меньше, чем в модельном монослое Гиббса. В то же время, широкий слой в $(z_2 - z_1)/z_1 \approx 15\text{--}20$ раз толще монослоя. Таким образом, в мицеллярном слое количество октадеканамида в 3–4 раза превышает его количество в монослое. Следовательно, поверхностная концентрация неионогенного сурфактанта на границе масло–вода определяется уровнем pH водной субфазы, т. е. направлением поляризации в электрическом двойном слое на границе водной фазы или знаком электрического потенциала на границе монослой–раствор электролита.

Форма восстановленных профилей электронной концентрации $\rho(z)$ также указывает на существование плоскости наименьшего сближения мицелл с межфазной границей на расстоянии $z' \sim 70 \text{ \AA}$ от нее, а возникновение области разрежения в интервале $z_1 < z' < 70 \text{ \AA}$ является достаточно неожиданной особенностью профиля. Возможно, такая картина поляризации интерфейса является проявлением специфических электростатических и стерических эффектов во взаимодействии мицелл с поверхностью и требует детального рассмотрения, выходящего за рамки данной работы. Отметим только, что ранее в работах по многослойной адсорбции наличие плоскости наименьшего сближения для мицелл не обсуждалось, так как надежно установить ее наличие с модельным подходом к восстановлению профиля $\rho(z)$ весьма затруднительно [9, 14, 16]. Это связано, в первую очередь, с тем, что при таком подходе с увеличением числа параметров модельной структуры, как правило, быстро возрастает неоднозначность в определении последних.

Итак, структура растворимой адсорбционной пленки октадеканамида на межфазной границе толуол–вода сильно зависит от уровня pH водной субфазы. При высоком pH пленка представля-

ет собой твердый монослой толщиной примерно 26 \AA , в котором алифатические хвосты октадеканамида вытянуты вдоль нормали к поверхности. При низких pH за счет конденсации мицелл сурфактанта толщина приповерхностной структуры увеличивается примерно до 500 \AA , благодаря чему количество адсорбированного вещества возрастает в 3–4 раза, т. е. значительно. При этом, по нашим данным, структура монослоя Гиббса не зависит от pH субфазы. Применение модельно-независимого подхода позволило нам установить существование плоскости наименьшего сближения мицелл сурфактанта с межфазной границей, которая в интервале уровней pH от 2 до 11 располагается на расстоянии около 70 \AA от нее. Продемонстрированное явление конденсации мицелл на межфазной границе при понижении pH водной субфазы вызывается, по нашему мнению, изменением направления поляризации в электрическом двойном слое на границе водной фазы.

Финансирование. Синхротрон NSLS использовался при поддержке Департамента энергетики США по контракту № DE-AC02-98CH10886. Станция X19C финансировалась из фондов ChemMatCARS, Университета Чикаго, Университета Иллинойса в Чикаго и Университета Стони Брук. Теоретическая часть работы выполнена за счет гранта Российского научного фонда (проект № 18-12-00108).

ЛИТЕРАТУРА

1. M. Lin, J. L. Ferpo, P. Mansaura, and J. F. Baret, *J. Chem. Phys.* **71**, 2202 (1979).
2. T. Takiue, T. Fukuda, D. Murakami, H. Sakamoto, H. Matsubara, and M. Aratono, *J. Phys. Chem. B* **113**, 14667 (2009).
3. T. Takiue, F. Nakamura, D. Murakami, T. Fukuda, A. Shuto, H. Matsubara, and M. Aratono, *J. Phys. Chem. B* **113**, 6305 (2009).
4. С. В. Кириян, Б. А. Алтоиз, *Труды МФТИ* **2**(2), 101 (2010).
5. Б. А. Алтоиз, А. Ф. Бутенко, С. В. Кириян, *ЖТФ* **88**(1), 5 (2018).
6. D. M. Mitrinovic, A. M. Tikhonov, M. Li, Z. Huang, and M. L. Schlossman, *Phys. Rev. Lett.* **85**, 582 (2000).
7. S. Engemann, H. Reichert, H. Dosch, J. Bilgram, V. Honkimaki, and A. Snigirev, *Phys. Rev. Lett.* **92**, 205701 (2004).

8. G. Luo, S. Malkova, J. Yoon, D. G. Schultz, B. Lin, M. Meron, I. Benjamin, P. Vanysek, and M. L. Schlossman, *Science* **311**, 216 (2006).
9. A. M. Tikhonov and M. L. Schlossman, *J. Phys.: Condens. Matter* **19**, 375101 (2007).
10. L. Tamam, D. Pontoni, Z. Sapir, Sh. Yefet, E. Slutskin, B. M. Ocko, H. Reichert, and M. Deutsch, *Proceeding of National Academy of Sciences USA* **108**, 5522 (2011).
11. Yu. Tokiwa, H. Sakamoto, T. Takiue, M. Aratono, and H. Matsubara, *J. Phys. Chem. B* **119**, 6235 (2015).
12. M. K. Sanyal, V. V. Agrawal, M. K. Bera, K. P. Kalyanikutty, J. Daillant, Ch. Blot, S. Kubowicz, O. Konovalov, and C. N. R. Rao, *J. Phys. Chem. C* **112**, 1739 (2008).
13. А. М. Тихонов, Письма в ЖЭТФ **104**, 318 (2016).
14. T. Takiue, T. Tottori, K. Tatsuta, H. Matsubara, H. Tanida, K. Nitta, T. Uruga, and M. Aratono, *J. Phys. Chem. B* **116**, 13739 (2012).
15. А. М. Тихонов, Письма в ЖЭТФ **106**, 561 (2017).
16. А. М. Тихонов, Письма в ЖЭТФ **106**, 706 (2017).
17. И. В. Кожевников, Дисс. ... док. физ.-мат. наук, ИК РАН (2013).
18. A. M. Tikhonov, D. M. Mitrinovic, M. Li, Z. Huang, and M. L. Schlossman, *J. Phys. Chem. B* **104**, 6336 (2000).
19. V. Honkimaki, H. Reichert, J. Okasinski, and H. Dosch, *J. Synchrotron Rad.* **13**, 426 (2006).
20. А. М. Тихонов, Письма в ЖЭТФ **108**, 93 (2018).
21. *Tables of Interatomic Distances and Configuration in Molecules & Ions (Supplement 1956–1959)*, ed. by L. E. Sutton, Special Publication No. 18, The Chemical Society, London (1965).
22. A. Goebel and K. Lunkenheimer, *Langmuir* **13**, 369 (1997).
23. A. W. Adamson, *Physical Chemistry of Surfaces*, 3rd ed. John Wiley & Sons, New York (1976).
24. L. L. Schramm and L. G. Hepler, *Can. J. Chem.* **72**, 1915 (1994).
25. J. Saien and S. Akbari, *J. Chem. Eng. Data* **51**, 1832 (2006).
26. M. L. Schlossman, D. Synal, Y. Guan, M. Meron, G. Shea-McCarthy, Z. Huang, A. Acero, S. M. Williams, S. A. Rice, and P. J. Viccaro, *Rev. Sci. Instrum.* **68**, 4372 (1997).
27. L. Hanley, Y. Choi, E. R. Fuoco, F. A. Akin, M. B. J. Wijesundara, M. Li, A. M. Tikhonov, and M. L. Schlossman, *Nucl. Instrum. Methods Phys. Res. B* **203**, 116 (2003).
28. J. Koo, S. Park, S. Satija, A. M. Tikhonov, J. C. Sokolov, M. H. Rafailovich, and T. Koga, *J. Coll. Interf. Sci.* **318**, 103 (2008).
29. A. M. Tikhonov, *J. Chem. Phys.* **130**, 024512 (2009).
30. А. М. Тихонов, ЖЭТФ **154**, 933 (2018).
31. M. V. Smoluchovsky, *Ann. Phys.* **25**, 205 (1908).
32. L. Mandelstamm, *Ann. Phys.* **41**, 609 (1913).
33. И. Л. Фабелинский, УФН **170**, 93 (2000).
34. F. P. Buff, R. A. Lovett, and F. H. Stillinger, *Phys. Rev. Lett.* **15**, 621 (1965).
35. L. Nevot and P. Croce, *Rev. Phys. Appl.* **15**, 761 (1980).
36. S. K. Sinha, E. B. Sirota, S. Garoff, and H. B. Stanley, *Phys. Rev. B* **38**, 2297 (1988).
37. A. Braslau, P. S. Pershan, G. Swislow, B. M. Ocko, and J. Als-Nielsen, *Phys. Rev. A* **38**, 2457 (1988).
38. P. S. Venkatesh, T. Takiue, G. Guangming, A. M. Tikhonov, N. Ikeda, M. Aratono, and M. L. Schlossman, *J. Disper. Sci. Techn.* **27**, 715 (2006).
39. D. M. Small, *The Physical Chemistry of Lipids*, Plenum Press, New York (1986).
40. D. R. Nelson and B. I. Halperin, *Phys. Rev. B* **19**, 2457 (1979).
41. I. R. Peterson, G. Brezesinski, B. Struth, and E. Scalas, *J. Phys. Chem. B* **102**, 9437 (1998).
42. I. V. Kozhevnikov, *Nucl. Instr. Meth. Phys. Res. A* **508**, 519 (2003).
43. А. М. Тихонов, В. Е. Асадчиков, Ю. О. Волков, Письма в ЖЭТФ **102**, 536 (2015).
44. А. М. Тихонов, В. Е. Асадчиков, Ю. О. Волков, Б. С. Рощин, И. С. Монахов, И. С. Смирнов, Письма в ЖЭТФ **104**, 880 (2015).
45. А. М. Тихонов, В. Е. Асадчиков, Ю. О. Волков, Б. С. Рощин, Ю. А. Ермаков, ЖЭТФ **152**, 1233 (2017).

46. B. L. Henke, E. M. Gullikson, and J. C. Davis, Atomic Data and Nuclear Data Tables **54**, 181 (1993).
47. J. W. Gibbs, *Collected Works*, Vol. 1, p. 219, Dover, New York (1961).
48. Л. Д. Ландау, Е. М. Лифшиц, *Курс теоретической физики т. V. Статистическая физика*, Ч. 1, Наука, Физматлит, Москва (1995).
49. N. Matubayasi, K. Motomura, M. Aratono, and R. Matuura, Bull. Chem. Soc. Jpn. **51**, 2800 (1978).
50. C. J. Radke, Adv. Coll. Interf. Sci. **222**, 600 (2015).
51. J. W. McBain, Trans. Faraday Soc. **9**, 99 (1913).
52. P. Becher, *Emulsions: Theory and Practice*, 3rd ed., American Chemical Society and Oxford University Press: Washington, D.C. (2001).
53. J. H. Schulman, W. Stoeckenius, and L. M. Prince, J. Phys. Chem. **63**, 1677 (1959).
54. M. Kahlweit, R. Strey, P. Firman, D. Haase, J. Jen, and R. Schomacker, Langmuir **4**, 499 (1988).
55. M. V. Flores, E. C. Voutsas, N. Spiliotis, G. M. Eccleston, G. Bell, D. P. Tassios, and P. J. Halling, J. Coll. Interf. Sci. **240**, 277 (2001).